

COMMITTENTE:



PROGETTAZIONE:



DIRETTRICE FERROVIARIA MESSINA - CATANIA - PALERMO

NUOVO COLLEGAMENTO PALERMO - CATANIA

U.O. INFRASTRUTTURE CENTRO

PROGETTO DEFINITIVO

TRATTA NUOVA ENNA – DITTAINO (LOTTO 4b)

GALLERIE ARTIFICIALI

Camerone e galleria artificiale GA01

Galleria Artificiale GA01

Relazione di calcolo opere provvisionali

SCALA:

-

COMMESSA LOTTO FASE ENTE TIPO DOC. OPERA/DISCIPLINA PROGR. REV.

RS3V 40 D 29 CL GA0100 003 A

Rev.	Descrizione	Redatto	Data	Verificato	Data	Approvato	Data	Autorizzato Data
A	Emissione esecutiva	R.Michelangeli	Gennaio 2020	M. Arcangeli	Gennaio 2020	F.Sparacino	Gennaio 2020	F. Arduini Gennaio 2020

Ordine degli Ingegneri della Provincia di Roma
n. 15942/2020
ITALFERR S.p.A.
Direzione Tecnica
Infrastrutture Centro
Doc. n. 15942/2020
F. Arduini

INDICE

1	PREMESSA	4
2	NORMATIVA DI RIFERIMENTO.....	5
3	MATERIALI.....	6
3.1	ACCIAIO S275	6
4	INQUADRAMENTO GEOTECNICO	7
4.1	TERRENO DI FONDAZIONE	7
5	CARATTERIZZAZIONE SISMICA.....	8
6	CRITERI DI PROGETTO	8
6.1	PROGRAMMI PER L'ANALISI AUTOMATICA	8
6.2	MODELLI DI CALCOLO	8
6.1	GALLERIA.....	8
7	ANALISI DEI CARICHI.....	10
7.1	PESO PROPRIO	10
7.2	SPINTA STATICA DELLE TERRE.....	10
7.3	SPINTA STATICA DELL'ACQUA.....	12
7.4	SPINTA DA SOVRACCARICO ACCIDENTALE	12
7.5	COMBINAZIONI DI CARICO.....	12
8	RISULTATI.....	14
8.1	PARETI	14

1 PREMESSA

Il presente documento si inserisce nell'ambito della redazione degli elaborati tecnici di progetto definitivo lungo la direttrice ferroviaria Messina-Catania-Palermo del nuovo collegamento Palermo-Catania.

Le Analisi e Verifiche nel seguito esposte fanno in particolare riferimento alla galleria GA01, alla pk 13+400.

Le analisi strutturali e le verifiche di sicurezza sono state effettuate secondo il DM 17 gennaio 2018.

La palancola provvisoria prevista al fine di eseguire gli scavi necessari alla realizzazione delle opere, viene realizzata in metallo con sezioni di tipo AZ26, unite da giunti di tipo Larsenn. La palancola ha lunghezza di 12.0m.

Quanto riportato di seguito consentirà di verificare che il dimensionamento della struttura è stato effettuato nel rispetto dei requisiti di resistenza richiesti all'opera.

SEZIONE D-D - Scala 1:100

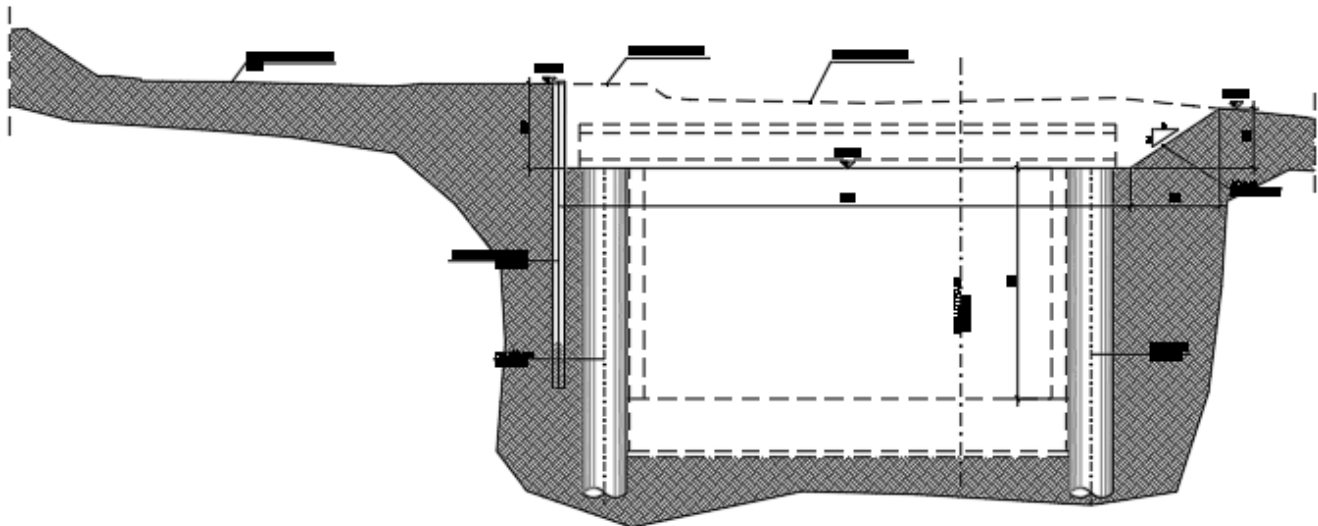


Fig. 1 – Sezione trasversale dell'opera

2 NORMATIVA DI RIFERIMENTO

La progettazione è conforme alle normative vigenti nonché alle istruzioni dell'Ente FF.SS.

La normativa cui viene fatto riferimento nelle fasi di calcolo e progettazione è la seguente:

- L. n. 64 del 2/2/1974“Provvedimento per le costruzioni con particolari prescrizioni per le zone sismiche”.
- L. n. 1086 del 5/11/1971“Norme per la disciplina delle opere di conglomerato cementizio armato, normale e precompresso ed a struttura metallica”.
- Norme Tecniche per le Costruzioni - D.M. 17-01-18 (NTC-2018);
- Circolare n. 7 del 21 gennaio 2019 - Istruzioni per l'Applicazione Nuove Norme Tecniche Costruzioni di cui al Decreto Ministeriale 17 gennaio 2018;
- Regolamento (UE) N.1299/2014 del 18 novembre 2014 della Commissione Europea. Relativo alle specifiche tecniche di interoperabilità per il sottosistema “infrastruttura” del sistema ferroviario dell'Unione Europea modificato dal Regolamento di esecuzione (UE) N° 2019/776 della Commissione del 16 maggio 2019.
- Eurocodici EN 1991-2: 2003/AC:2010.
- RFI DTC SI MA IFS 001 B - Manuale di Progettazione delle Opere Civili.
- RFI DTC SI SP IFS 001 B – Capitolato generale tecnico di Appalto delle opere civili.
- CNR-DT207/2008 Istruzioni per la valutazione delle azioni e degli effetti del vento sulle costruzioni.
- UNI EN 206-1:2006 Parte 1: Calcestruzzo-Specificazione, prestazione, produzione e conformità;
- EUROCODICE 2 - Progettazione delle strutture di calcestruzzo
- EUROCODICE 7: progettazione geotecnica
- Eurocodice 8. Progettazione delle strutture per la resistenza sismica

3 MATERIALI

3.1 Acciaio S275

La carpenteria metallica sarà realizzata in acciaio tipo S275 conforme alle prescrizioni del D.M. 17.1.2018 e presentare le seguenti caratteristiche:

- tensione di rottura a trazione $f_t \geq 430 \text{ MPa}$
- tensione di snervamento $f_y \geq 275 \text{ MPa}$
- allungamento (lamiere) $\varepsilon_t \geq 21\%$
- modulo elastico $E_a = 210.000 \text{ MPa}$

4 INQUADRAMENTO GEOTECNICO

Si rimanda alla relazione geotecnica per la trattazione completa dei parametri geotecnici.

4.1 Terreno di fondazione

Per il terreno esistente sono state assunte le seguenti caratteristiche geotecniche :

Da 0.0 a 9.5 m Unità cap-s – Capellaccio sabbioso limoso costituente la parte alterata sabbiosa della formazione di base

$\gamma = 19.5 \text{ kN/m}^3$	peso di volume naturale
$c' = 0 \text{ kPa}$	coesione drenata
$\varphi' = 33^\circ$	angolo di resistenza al taglio
$V_s = 150 \div 250 \text{ m/s}$	velocità delle onde di taglio
$E_o = 150 \div 300 \text{ MPa}$	modulo di deformazione elastico iniziale
$E'_{op} = E_o/5 \text{ MPa}$ fondazioni dirette	modulo di deformazione elastico operativo per analisi opere di sostegno e ($E'_{op} = 45 \text{ MPa}$)
$k = 7.0E^{-07} \text{ m/s}$	permeabilità

Da 9.5 a 30.0 m Unità TRVa – Formazione di Terravecchia arenarie e sabbie alternate con peliti

$\gamma = 20.0 \text{ kN/m}^3$	peso di volume naturale
$c' = 10 \text{ kPa}$	coesione drenata (non ci sono ancora prove disponibili)
$\varphi' = 30^\circ$	angolo di resistenza al taglio (non ci sono ancora prove disponibili)
$V_s = 400 \div 780 \text{ m/s}$	velocità delle onde di taglio
$E_o = 390 \div 1000 \text{ MPa}$	modulo di deformazione elastico iniziale
$E' = E_o/5 \text{ MPa}$ opere di sostegno	modulo di deformazione elastico operativo per calcolo cedimenti fondazione e ($E'_{op} = 80 \text{ MPa}$ fino a 30 m, $E'_{op} = 120 \text{ MPa}$ per profondità > 30 m)
$k = 1.0E^{-07} \div 2.0E^{-06} \text{ m/s}$	permeabilità

Falda: 7 m da p.c.

5 CARATTERIZZAZIONE SISMICA

In quanto l'opera è provvisoria, non si applica l'azione sismica

6 CRITERI DI PROGETTO

6.1 Programmi per l'analisi automatica

Lo stato tenso-deformativo della paratia è stato investigato mediante il software di calcolo *PARATIEPLUS*.

6.2 Modelli di calcolo

Lo stato tenso-deformativo dell'opera è stato investigato mediante il software di calcolo *PARATIE PLUS*, programma non lineare agli elementi finiti per l'analisi di strutture di sostegno flessibili.

Si è considerato un comportamento piano nelle deformazioni, analizzando una striscia di parete di larghezza unitaria. La realizzazione dello scavo sostenuto da paratie è seguita in tutte le varie fasi attraverso un'analisi statica incrementale: ogni passo di carico coincide con una ben precisa configurazione caratterizzata da una quota di scavo, da un insieme di puntoni e tiranti applicati e da una ben precisa disposizione di carichi applicati.

6.1 Galleria

Palancola è costituita profili di tipo AZ26 L=12m.

Si incrementa l'altezza di scavo del 10% secondo quanto riportato al cap.6.5.2.2 delle NTC(2.8m*1.1= 3.15m). La sezione calcolata presenta la scarpata di altezza maggiore.

Nella modellazione è implementata la seguente successione di step:

Step 0. Inizializzazione geostatica.

Step 1. Esecuzione palancola.

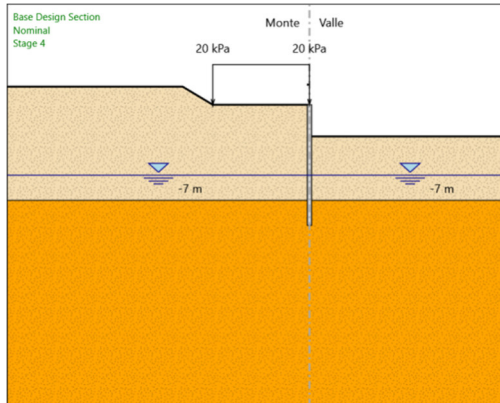
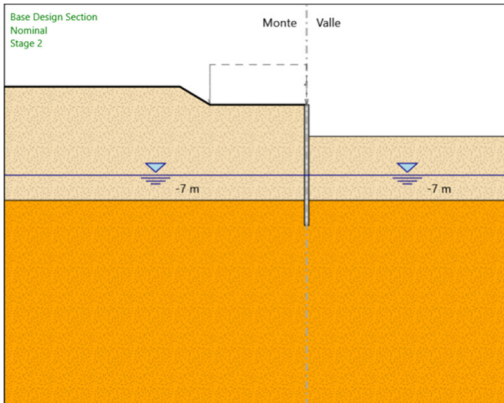
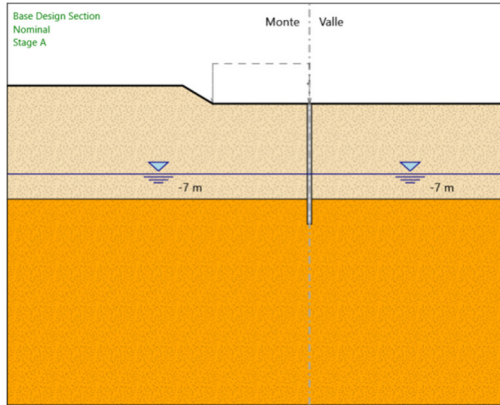
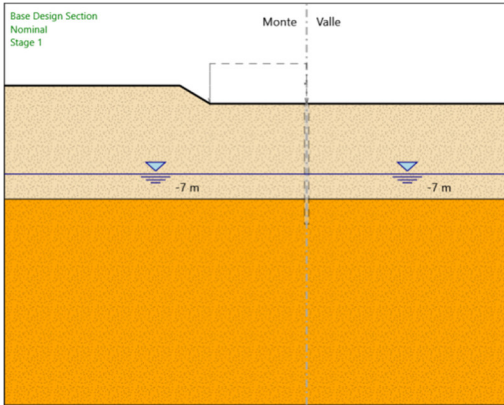
Step 2. Scavo.

Step 3. Applicazione carico.

Di seguito si riportano le immagini relative alle fasi di calcolo:

RELAZIONE DI CALCOLO OPERA PROVVISORIALE

COMMESSA	LOTTO	CODIFICA	DOCUMENTO	REV.	FOGLIO
RS3E	50	D 78 CL	IV 01 00 001	A	9 di 18



7 ANALISI DEI CARICHI

7.1 Peso Proprio

Il peso proprio della struttura è calcolato in base alla geometria degli elementi strutturali e al peso specifico assunto per i materiali:

$$\gamma_{cls}=78.5 \quad \text{kN/m}^3$$

7.2 Spinta statica delle terre

Nel modello di calcolo impiegato dal software di calcolo PARATIE, la spinta del terreno viene determinata investigando l'interazione statica tra terreno e la struttura deformabile a partire da uno stato di spinta a riposo del terreno sulla paratia.

I parametri che identificano il tipo di legge costitutiva possono essere distinti in due sottoclassi: parametri di spinta e parametri di deformabilità del terreno.

I parametri di spinta sono il coefficiente di spinta a riposo K_0 , il coefficiente di spinta attiva K_a e il coefficiente di spinta passiva K_p .

Il coefficiente di spinta a riposo fornisce lo stato tensionale presente in sito prima delle operazioni di scavo. Esso lega la tensione orizzontale efficace σ'_h a quella verticale σ'_v attraverso la relazione:

$$\sigma'_h = K_0 \cdot \sigma'_v$$

K_0 dipende dalla resistenza del terreno, attraverso il suo angolo di attrito efficace ϕ' e dalla sua storia geologica. Si può assumere che:

$$K_0 = K_0^{NC} \cdot (\text{OCR})^m$$

dove

$$K_0^{NC} = 1 - \text{sen } \phi'$$

è il coefficiente di spinta a riposo per un terreno normalconsolidato ($\text{OCR}=1$). OCR è il grado di sovraconsolidazione e m è un parametro empirico, di solito compreso tra 0.4 e 0.7.

I coefficienti di spinta attiva e passiva sono forniti dalla teoria di Rankine per una parete liscia dalle seguenti espressioni:

$$K_a = \tan^2(45 - \phi'/2)$$

$$K_p = \tan^2(45 + \phi'/2)$$

Per tener conto dell'angolo di attrito δ tra paratia e terreno il software PARATIE impiega per K_a e K_p la formulazione rispettivamente di Coulomb e Lancellotta.

Formulazione di Coulomb per k_a

$$k_a = \frac{\cos^2(\phi' - \beta)}{\cos^2 \beta \cdot \cos(\beta + \delta) \cdot \left[1 + \frac{\sin(\delta + \phi') \cdot \sin(\phi' - i)}{\cos(\beta + \delta) \cdot \cos(\beta - i)} \right]^2}$$

dove:

ϕ' è l'angolo di attrito del terreno

β è l'angolo d'inclinazione del diaframma rispetto alla verticale

δ è l'angolo di attrito paratia-terreno

i è l'angolo d'inclinazione del terreno a monte della paratia rispetto all'orizzontale

Il valore limite della tensione orizzontale sarà pari a

$$\sigma'_h = K_a \cdot \sigma'_v - 2 \cdot c' \cdot \sqrt{K_a}$$

$$\sigma'_h = K_p \cdot \sigma'_v + 2 \cdot c' \cdot \sqrt{K_p}$$

a seconda che il collasso avvenga in spinta attiva o passiva rispettivamente. c' è la coesione drenata del terreno.

Formulazione di Lancellotta per k_p

$$K_p = \left[\frac{\cos \delta}{1 - \sin \Phi'} (\cos \delta + \sqrt{\sin^2 \Phi' - \sin^2 \delta}) \right] e^{2\theta \tan \Phi'}$$

dove:

$$2\theta = \sin^{-1}\left(\frac{\sin \delta}{\sin \Phi'}\right) + \delta$$

7.3 Spinta statica dell'acqua

La spinta dell'acqua è proporzionale alla profondità a partire dalla quota di falda. La falda è posta a 7.0m da p.c..

7.4 Spinta da sovraccarico accidentale

I carichi variabili associati al passaggio dei veicoli, vengono schematizzati, ai fini del calcolo, con dei carichi uniformi $q_{vk} = 20 \text{ kPa}$.

7.5 Combinazioni di carico

Per le paratie si devono considerare almeno i seguenti stati limite ultimi:

- SLU di tipo geotecnico (GEO) e di tipo idraulico (UPL e HYD)
 - collasso per rotazione intorno a un punto dell'opera (atto di moto rigido);
 - collasso per carico limite verticale;
 - sfilamento di uno o più ancoraggi;
 - instabilità del fondo scavo in terreni a grana fine in condizioni non drenate;
 - instabilità del fondo scavo per sollevamento;
 - sifonamento del fondo scavo;
 - instabilità globale dell'insieme terreno-opera;
 - SLU di tipo strutturale (STR)
 - raggiungimento della resistenza in uno o più ancoraggi;
 - raggiungimento della resistenza in uno o più puntoni o di sistemi di contrasto;
 - raggiungimento della resistenza strutturale della paratia,
- accertando che la condizione (6.2.1) sia soddisfatta per ogni stato limite considerato.

La verifica di stabilità globale dell'insieme terreno-opera deve essere effettuata secondo l'Approccio 1:

- Combinazione 2: (A2+M2+R2)

tenendo conto dei coefficienti parziali riportati nelle Tabelle 6.2.I e 6.2.II e 6.8.I.

Le rimanenti verifiche devono essere effettuate considerando le seguenti combinazioni di coefficienti:

- Combinazione 1: (A1+M1+R1)

- Combinazione 2: (A2+M2+R1)

tenendo conto dei valori dei coefficienti parziali riportati nelle Tabelle 6.2.I, 6.2.II e 6.5.I.

Fermo restando quanto specificato nel § 6.5.3.1.1 per il calcolo delle spinte, per valori dell'angolo d'attrito tra terreno e parete $\delta > \varphi'/2$ ai fini della valutazione della resistenza passiva è necessario tener conto della non planarità delle superfici di scorrimento.

	Effetto	Coefficiente Parziale γ_F (o γ_E)	EQU	(A1)	(A2)
Carichi permanenti G_1	Favorevole	γ_{G1}	0,9	1,0	1,0
	Sfavorevole		1,1	1,3	1,0
Carichi permanenti $G_2^{(1)}$	Favorevole	γ_{G2}	0,8	0,8	0,8
	Sfavorevole		1,5	1,5	1,3
Azioni variabili Q	Favorevole	γ_Q	0,0	0,0	0,0
	Sfavorevole		1,5	1,5	1,3

⁽¹⁾ Per i carichi permanenti G_2 si applica quanto indicato alla Tabella 2.6.I. Per la spinta delle terre si fa riferimento ai coefficienti γ_{G1}

Tabella 1– Coefficienti parziali per le azioni o per l'effetto delle azioni (Tab. 6.2.I NTC2018)

Parametro	Grandezza alla quale applicare il coefficiente parziale	Coefficiente parziale γ_M	(M1)	(M2)
Tangente dell'angolo di resistenza al taglio	$\tan \varphi'_k$	$\gamma_{\varphi'}$	1,0	1,25
Coesione efficace	c'_k	$\gamma_{c'}$	1,0	1,25
Resistenza non drenata	c_{uk}	γ_{cu}	1,0	1,4
Peso dell'unità di volume	γ_γ	γ_γ	1,0	1,0

Tabella 2– Coefficienti parziali per i parametri geotecnici del terreno (Tab.6.2.II NTC2018)

COEFFICIENTE	R2
γ_R	1,1

Tabella 3: Coefficienti parziali per le verifiche di sicurezza di opere di materiali sciolti e di fronti di scavo (Tabella 6.8.I – NTC 2018)

8 RISULTATI

8.1 Pareti

Stratigrafia:

Tipo : HORIZONTAL
Quota : 1.8 m
OCR : 1

Tipo : HORIZONTAL
Quota : -9.5 m
OCR : 1

Tipo : HORIZONTAL
Quota : -30 m
OCR : 1

Strato di Terreno	Terreno	γ dry	γ sat	θ'	θ	ν	ϕ	ρ	c'	Su	Modulo	Elastico	Eu	Evc	Eur	Ah	Av	exp	Pa	Rur/Rvc	Rvc	Ku	Kvc	Kur	
		kN/m ³	kN/m ³	°	°	°	°	°	kPa	kPa			kPa	kPa	kPa				kPa			kPa	kN/m ³	kN/m ³	kN/m ³
1	cap-s	19.5	19.5	33					0		Constant		45000	135000											
2	TRVa2	19	19	30					10		Constant		80000	240000											
3	TRVa3	19	19	30					10		Constant		120000	360000											

Parete:

X : 0 m
Quota in alto : 0 m
Quota di fondo : -12 m
Muro di sinistra

Sezione : palanca

Area equivalente : 0.0198 m
Inerzia equivalente : 0.0006 m⁴/m
Profilo palanca : AZ 26



Riepilogo per tutte le Design Assumption (DA) attive

Max. Rapporto Spinte (Efficace/Passiva) (Lato SX)	0.12	D.A. NTC2018: A2+M2+R1 (Stage A)
Max. Rapporto Spinte (Efficace/Passiva) (Lato DX)	0.27	D.A. NTC2018: A2+M2+R1 (Stage 4)

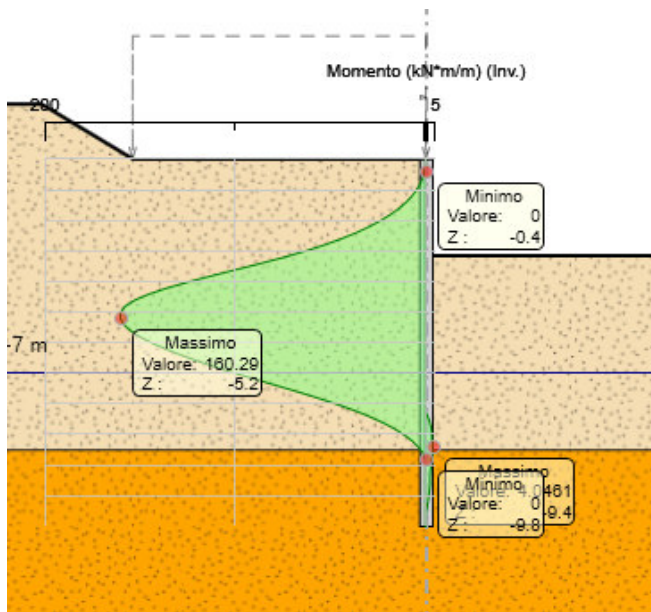
Risultati Elementi parete (Beam)

Max. momento (assoluto) [kNm/m]	160.29	Z = -5.2 m	D.A. NTC2018: A2+M2+R1 (Stage 4)
Max. taglio [kN/m]	63.53	Z = -3.8 m	D.A. NTC2018: A2+M2+R1 (Stage 4)
Max. struttamento in flessione	0.235	Z = -5.2 m	D.A. NTC2018: A2+M2+R1 (Stage 4)
Max. struttamento a taglio	0.052	Z = -3.6 m	D.A. NTC2018: A2+M2+R1 (Stage 4)

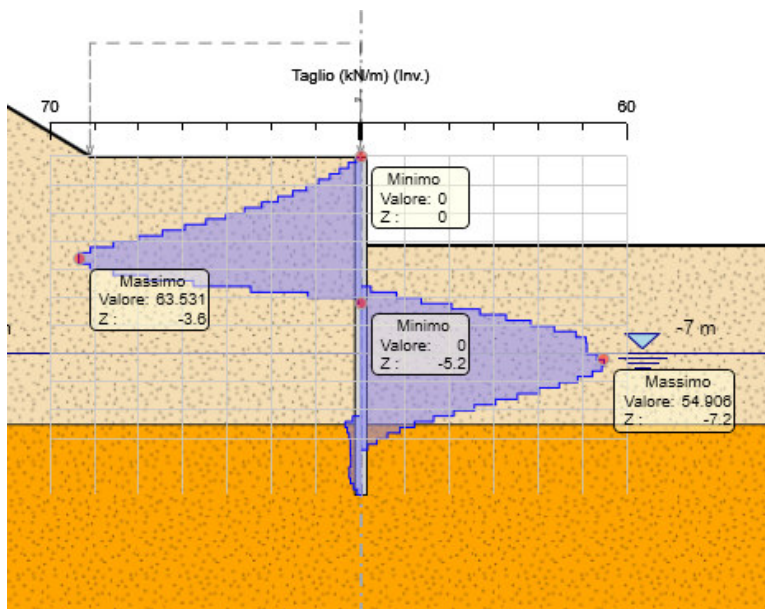
RELAZIONE DI CALCOLO OPERA PROVVISORIALE

COMMESSA	LOTTO	CODIFICA	DOCUMENTO	REV.	FOGLIO
RS3E	50	D 78 CL	IV 01 00 001	A	16 di 18

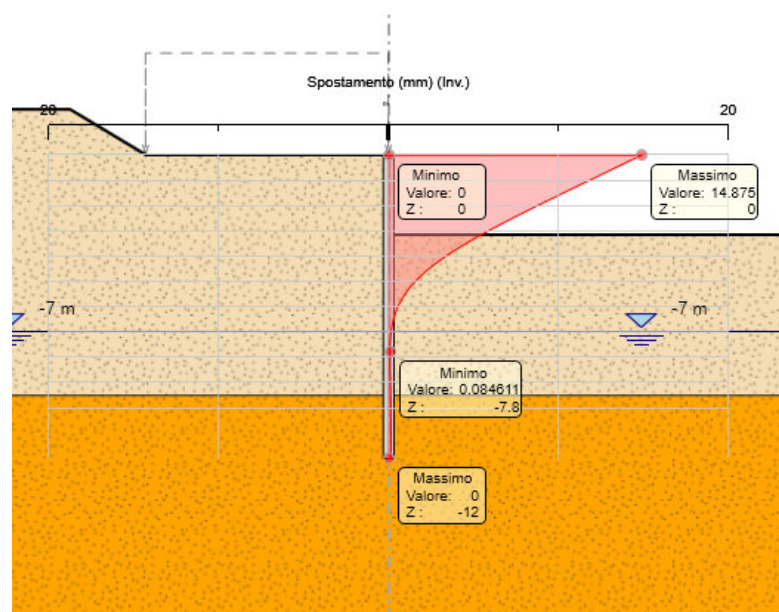
Inviluppo Momento:



Inviluppo Taglio:



Spostamento SLE:



Riepilogo Combinazioni di carico

Nome	Carichi Permanenti Sfavorevoli (F_dead_load_unfavour)	Carichi Permanenti Favorevoli (F_dead_load_favour)	Carichi Variabili Sfavorevoli (F_live_load_unfavour)	Carichi Variabili Favorevoli (F_live_load_favour)	Carico Sismico (F_seis_m_load)	Pressioni Acqua Monte (F_WaterDR)	Pressioni Acqua Valle (F_WaterRes)	Carichi Permanenti Destabilizzanti (F_UPL_GDStab)	Carichi Permanenti Stabilizzanti (F_UPL_GStab)	Carichi Variabili Destabilizzanti (F_UPL_QDStab)	Carichi Permanenti Destabilizzanti (F_HYD_GDStab)	Carichi Permanenti Stabilizzanti (F_HYD_GStab)	Carichi Variabili Destabilizzanti (F_HYD_QDStab)
Simbolo	γ_G	γ_G	γ_Q	γ_Q	γ_{QE}	γ_G	γ_G	γ_{Gdst}	γ_{Gstb}	γ_{Qdst}	γ_{Gdst}	γ_{Gstb}	γ_{Qdst}
Nominal	1	1	1	1	1	1	1	1	1	1	1	1	1
NTC2018: SLE (Rara/Frequente/Quasi Permanente)	1	1	1	1	0	1	1	1	1	1	1	1	1
NTC2018: A1+M1+R1 (R3 per tiranti)	1.3	1	1.5	1	0	1.3	1	1	1	1	1.3	0.9	1
NTC2018: A2+M2+R1	1	1	1.3	1	0	1	1	1	1	1	1.3	0.9	1

Nome	Parziale su $\tan(\theta')$ (F_Fr)	Parziale su c' (F_eff_coh)	Parziale su Su (F_Su)	Parziale su qu (F_qu)	Parziale su peso specifico (F_gamma)
Simbolo	γ_ϕ	γ_c	γ_{cu}	γ_{qu}	γ_γ
Nominal	1	1	1	1	1
NTC2018: SLE (Rara/Frequente/Quasi)	1	1	1	1	1

RELAZIONE DI CALCOLO OPERA PROVVISORIALE

COMMESSA	LOTTO	CODIFICA	DOCUMENTO	REV.	FOGLIO
RS3E	50	D 78 CL	IV 01 00 001	A	18 di 18

Nome	Parziale su tan(ϕ') (F_Fr)	Parziale su c' (F_eff_cohe)	Parziale su Su (F_Su)	Parziale su qu (F_qu)	Parziale su peso specifico (F_gamma)
Simbolo	$\gamma\phi$	γc	γc_u	γq_u	$\gamma\gamma$
Permanente)					
NTC2018: A1+M1+R1 (R3 per tiranti)	1	1	1	1	1
NTC2018: A2+M2+R1	1.25	1.25	1.4	1	1

Nome	Parziale resistenza terreno (es. Kp) (F_Soil_Res_walls)	Parziale resistenza Tiranti permanententi (F_Anch_P)	Parziale resistenza Tiranti temporanei (F_Anch_T)	Parziale elementi strutturali (F_wall)
Simbolo	γR_e	γa_p	γa_t	
Nominal	1	1	1	1
NTC2018: SLE	1	1	1	1
(Rara/Frequente/Quasi Permanente)				
NTC2018: A1+M1+R1 (R3 per tiranti)	1	1.2	1.1	1
NTC2018: A2+M2+R1	1	1.2	1.1	1